

II-18 河口堰長径間ゲートのダウントラブル（下向力）に関する実験

佐世保重工業(株) 正員 山口進吾
○正員 吉永信彦

1. まえがき

河口堰長径間ゲートでは、波浪に対する安定・海水に対する腐蝕防止から後面スキンプレート型のシェル構造ローラーゲートが使用されることが多い。しかしながら後面スキンプレート型は前面スキンプレート型に比べ、流出水による下向力(Downpull Force)が大きい。そこで模型実験により後面スキンプレート型シェル構造ローラーゲートの最適断面を選定するために、底板の傾斜角、底板の流入側コーナー半径、リップの長さを付け替えて、その各々で水位とゲート開度を変化させて、下向力を測定した。下向力が形状によりどのように変化するかを調べ、さらに定式化を試みた。

2. 実験装置と測定方法

流水式二次元水路で、二段式調節ゲートの $1/10$ の相似模型を用いた。模型はアクリル板製で、ピエゾメーター17~19個を埋め込み、マノメーターにより定常放流中での圧力分布を検出した。放流モードは、図1のように下段扉からの潜流とした。模型形状のパラメーターは、 $R = 0, 40, 60\text{mm}$; $\theta = 0^\circ, 10^\circ, 20^\circ$; $L = 10, 20, 30\text{mm}$ 、水位条件は、 $H_u = 330\text{mm}$ (一定); $H_d = 263, 159, 55\text{mm}$ (自由流出); ゲート開度は、 $a = 10, 20, 30, 50\text{mm}$ と変化させた。この現象はFroudeの法則に従うものとして、原型の諸量へと換算した。通水孔や扉体内水位も下向力には影響すると考えられるが、この場合は完全充水とした。通水孔の開孔比は実験を通じ一定とした。

3. 下向力の解析

いま任意の点でBernoulliの定理を適用すると、

底板に作用する鉛直力は

$$P_1 = \int p_1 \cos \theta_1 ds_1 = w \int (H_u - z_1 - \frac{v_1^2}{2g}) \cos \theta_1 ds_1$$

頂板に作用する鉛直力は、 $v_2 \approx 0$ であるから

$$P_2 = \int p_2 \cos \theta_2 ds_2 = w \int (H_u - z_2) \cos \theta_2 ds_2$$

となる。下段扉に作用する総下向力は、水流による力だけを考えて扉体断面積を V とすると、単位幅当たりの下向力は

$$F_D = P_2 - P_1 + wV = w \left[\int (H_u - z_2) \cos \theta_2 ds_2 - \int (H_u - z_1 - \frac{v_1^2}{2g}) \cos \theta_1 ds_1 + V \right]$$

ところが $\int \cos \theta_1 ds_1 = \int \cos \theta_2 ds_2$ また $\int z_2 \cos \theta_2 ds_2 - \int z_1 \cos \theta_1 ds_1 = V$

$$\text{だから } F_D = w \int \frac{v_1^2}{2g} \cos \theta_1 ds_1 \quad (1/2/4)$$

実験では、 $w \frac{v_1^2}{2g} = y_i$ は各点での動水压で上流での静水頭から

マノメーターの読みを引いた値である。この y_i の鉛直成分を梯形法則を用いて数値積分すると

$$F_D = \int y_i \cos \theta_1 ds_1 = \sum_{k=1}^{n-1} \frac{y_{k+1} \cos \theta_k + y_{k+1} \cos \theta_{k+1}}{2} S_k \quad \text{ただし} k \text{はピエゾメーター番号である。}$$

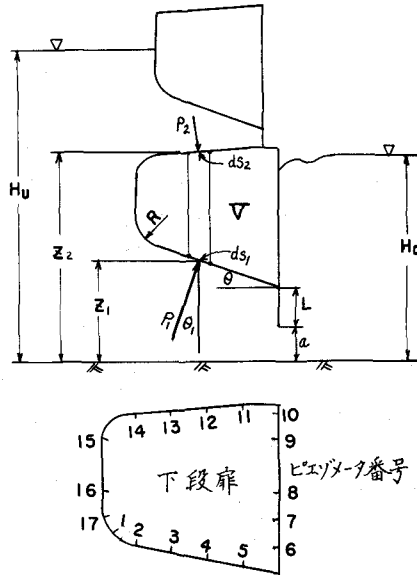


図.1

4. 実験結果

下向力とゲート開度、上下流落差の関係を図2、図3に示す。底板の傾斜角 θ 、リップの長さ L とも大きくなるほど、下向力 F_d は小さくなつた。

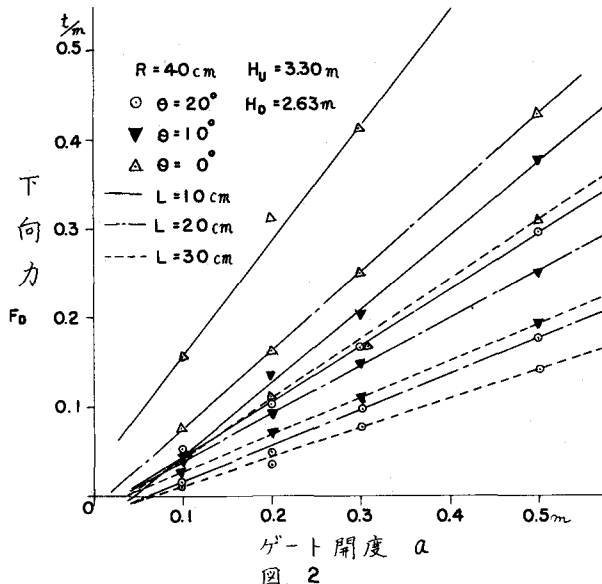


図. 2

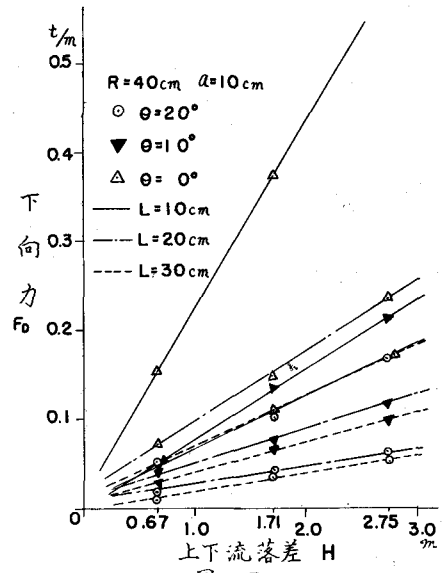


図. 3

さらに形状パラメーターは、 θ , L , R の順で効いてくることがわかつた(πの値参照)。 R の変化による F_d の変化は、 $\theta=20^\circ$ では小さいが $\theta=0^\circ$ では大きい。後者では、 $R=0$ のときコーナーで流線の離脱を生じ淀み領域が観察された。したがつて、水理的性状は本実験では $\theta=20^\circ$, $L=30\text{cm}$, $R=40\text{cm}$ のときが最も望ましいことがわかつた。

5. 考察

従来下向力は $F_d = KA\omega H$ で表わされてきた³⁾。ただし、 K : ダウンアブル係数, A : (水門の幅) × (水門の厚さ), ω : 水の比重, H : 水頭差である。さらに本実験では、ゲート開度・上下流落差が小さい範囲では $F_d = K\alpha\omega Ha$ ($K = ka$) なる関係が成立することがわかつた。 π の値を最小に乗法を用いて求めると右表のようになる。よつて他の形状でも π を内挿するならば、下向力は見積もれることがわかる。本実験では、形状変化が下向力にどのような影響を及ぼすかがわかつたので、今後は大開度や巻上げ巻下げ時の非定常流中の下向力や振動・通水孔の影響などを調べる予定である。

終りに、実験にあたり御指導いただいた長崎大学 古本助教授に心から感謝の意を表します。

6. 参考文献

- 1) 森翠、渡辺博夫; 長経間ゲートの水理的考察 川崎技報 51号 (1973)
- 2) 寺田溥、重永憲夫; 長経間穀構造ローラーゲートの水理的性状 三菱重工技報 10巻3号 (1973)
- 3) 岩崎正亮; 特殊構造物; 水門 森北出版 (1969) P.35
- 4) E. Naudascher; Proc. of ASCE (1964) & Der Stahlbau (1959)

π の値 (単位は m^{-1})

R	$\theta \backslash L$	10 cm	20 cm	30 cm
		20°	0.46	0.30
40 cm	10°	0.61	0.39	0.31
	0°	0.91	0.66	0.49
	20°	0.44	0.29	0.26
60 cm	10°	0.67	0.46	0.35
	0°	1.09	0.76	0.57
	20°	0.39	0.33	0.26
0 cm	10°	0.88	0.64	0.55
	0°	1.91	1.50	1.33